BAB III

LANDASAN TEORI

3.1 <u>Teori Pembebanan</u>

3.1.1. Kekuatan perlu (u)

Berdasarkan SNI 2847; 2013, kuat perlu adalah kekuatan komponen struktur atau penampang yang diperlukan untuk menahan beban terfaktor atau momen dan gaya dalam terkait dalam kombinasi seperti ditetapkan. Kekuatan perlu U harus paling tidak sama dengan pengaruh beban terfaktor dalam beberapa persamaan di bawah ini. Pengaruh salah satu atau lebih beban yang tidak bekerja secara serentak harus diperiksa (beban S (salju) dalam persamaan di bawah ini dihapus Karena tidak relevan):

$U = 1,4 D \dots$	(3-1)
$U = 1.2 D + 1.6 L + 0.5 (L_r \text{ atau } R)$	(3-2)
$U = 1.2 D + 1.6 (L_r \text{ atau } R) + (1.0 L \text{ atau } 0.5 W)$	(3-3)
$U = 1.2 D + 1.0 W + 1.0 L + 0.5 (L_r \text{ atau } R)$	(3-4)
U = 1.2 D + 1.0 E + 1.0 L	(3-5)
U = 0.9 D + 1.0 W	(3-6)
U = 0.9 D + 1.0 E	(3-7)

Kecuali sebagai berikut:

- 1. Faktor beban pada beban L pada pers. (3-3) sampai (3-5) diizinkan direduksi sampai 0,5 kecuali untuk garasi, luasan yang ditempati sebagai tempat perkumpulan publik, dan semua luasan dimana L lebih besar dari 4.8 kN/m^2 .
- 2. Bila *W* didasarkan pada beban angina tingkat layan, *1,6 W* harus digunakan sebagai pengganti dari *1,0 W* dalam pers. (3-4) dan (3-6), dan *0,8 W* harus digunakan sebagai pengganti dari *0,5 W* dalam pers. (3-3).
- 3. Dihilangkan karena tidak relevan.

3.1.2. Kekuatan desain

Berdasarkan SNI 2847-2013, kekuatan desain yang disediakan oleh suatu struktur, sambungannya dengan kekuatan komponen struktur lain, dan penampangnya, sehubungan dengan lentur, beban normal, geser, dan torsi, harus diambil sebesar kekuatan nominal dihitung sesuai dengan persyaratan dan asumsi yang distandarkan, yang dikalikan dengan faktor reduksi kekuatan ϕ , sebagai berikut:

Tabel 3.1 Tabel Faktor Reduksi Kekuatan Desain

No	Keterangan	Faktor Reduksi Kekuatan
1	Penampang terkendali tarik	0,90
	Penampang terkendali tekan:	
2	a. Komponen struktur dengan tulangan spiral	0,75
	b. Komponen struktur bertulangan lainnya	0,65
3	Geser dan torsi	0,75
4	Tumpuan pada beton (kecuali untuk daerah angkur pasca tarik dan model <i>strat</i> dan pengikat)	0,65

(Lanjutan) Tabel 3.1 Tabel Faktor Reduksi Kekuatan Desain

5	Daerah angkur pasca tarik	0,85
6	Model <i>strat</i> dan pengikat, dan <i>strat</i> , pengikat, daerah pertemuan (<i>nodal</i>), dan daerah tumpuan dalam model tersebut	0,75
7	 Penampang lentur dalam komponen struktur pratarik dimana penanaman <i>stand</i> kurang dari panjang penyaluran: a. Dari ujung komponen struktur ke ujung panjang transfer b. Dari ujung panjang transfer ke ujung panjang penyaluran φ boleh ditingkatkan secara linier dari 	0,75 0,75 – 0,90

3.2 <u>Perencanaan Beban Gempa</u>

Pengaruh beban gempa yang bekerja pada struktur ditentukan berdasarkan SNI 1726: 2012, pasal 8.3.1:

1. Untuk penggunaan dalam kombinasi beban (3-5), *E* harus ditentukan sesuai dengan persamaan:

$$E = E_h + E_v \tag{3-8}$$

2. Untuk penggunaan dalam kombinasi beban (3-7), E harus ditentukan sesuai dengan persamaan:

$$E = E_h - E_v \qquad (3-9)$$

dengan:

E = pengaruh beban gempa

 E_v = pengaruh gaya gempa vertikal

 E_h = pengaruh gaya gempa horizontal

dimana pengaruh beban gempa horizontal dan vertikal ditentukan dengan persamaan:

$$E_h = Q_E \tag{3-10}$$

$$E_{v} = 0.2S_{DS}D \tag{3-11}$$

dengan:

 Q_E = pengaruh gaya gempa horizontal dari V atau V_p ,

 S_{DS} = parameter percepatan respon spektrum desain pada periode pendek

D = pengaruh beban mati.

Pada perhitungan ini berlaku pengecualian E_{ν} diijinkan diambil sebesar nol untuk salah satu kondisi berikut:

- 1. Dalam persamaan (3-8) dan (3-9) S_{DS} sama dengan atau kurang dari 0,125
- 2. Dalam persamaan (3-9) jika menentukan kebutuhan muka-kontak tanah-struktur pada fondasi.

3.2.1. Perhitungan beban gempa berdasarkan SNI 1726: 2012

a. Menentukan S_S dan S₁ berdasarkan lokasi bangunan.

Nilai $S_{\rm S}$ dan $S_{\rm 1}$ dapat ditentukan berdasarkan web desain spektra Indonesia:

http://puskim.pu.go.id/Aplikasi/desain_spektra_indonesia_2011/

b. Menentukan klas situs (site class), Fa dan Fv.

Penentuan kelas situs didasarkan pada pasal 5.1 SNI 1726: 2012. Profil tanah di situs diklasifikasikan sesuai dengan tabel 3.2 berdasarkan profil tanah lapisan 30 m paling atas.

Tabel 3.2 Klasifikasi situs

Kelas Situs	v_s (m/ detik)	\overline{N} atau \overline{N}_{ch}	$\overline{S_u}$ (kPa)	
SA (batuan kera)	>1500	N/A	N/A	
SB (batuan)	750 - 1500	N/A	N/A	
SC (tanah keras, sangat padat, dan batuan lunak)	3500 - 750	> 50	≥100	
SD (tanah sedang)	175 - 350	15 - 50	50 - 100	
	<175	<15	< 50	
SE (tanah lunak)	Atau setiap profil tanah yang mengandung lebih dari 3 m tanah dengan karakteristik sebagai beikut: 1. Indeks plastisitas $PI > 20$, 2. Kadar air, $w \ge 40 \%$			
	3. Kuat geser niralir $\bar{s}_u < 25$ kPa Setiap profil lapisan tanah yang memiliki salah			
SF (tanah khusus, yang membutuhkan infestigasi	satu atau lebih dari karakteristik berikut: 1. Rawan dan berpotensi gagal atau runtu akibat beban gempa seperti muda dilikuifaksi, lempung sangat sensitif, tana			
geoteknik spesifik dan analisis respons spesifik- situs	(ketebalan 3. Lempung (ketebalan plastisitas I Lapisan lempur	berplastisitas $H > 7,5$ m	sangat tinggi dengan inddeks n teguh dengan	

(Tabel 3-SNI 1726: 2013)

Catatan: N/A = tidak dapat dipakai

Nilai beberapa parameter yang disebutkan di atas dihitung sebagai berikut:

1. Kecepatan rata-rata gelombang geser, \bar{v}_s

Keterangan:

 d_i = tebal setiap lapisan antara kedalaman 0 sampai 30 m

 v_{si} = kecepatan gelombang gelombang lapisan i, dinyatakan dalam m/det

$$\sum_{i=1}^{n} d_i = 30 \text{ m}$$

2. Tahanan penetrasi standar lapangan rata-rata, \overline{N} , dan tahanan penetrasi standar rata-rata untuk lapisan tanah non-kohesif, \overline{N}_{ch}

$$\overline{N} = \frac{\sum_{i=1}^{n} d_i}{\sum_{i=1}^{n} \frac{d_i}{N_i}}$$
(3-13)

Dimana N_i dalam d_i dalam persamaan berlaku untuk tanah non-kohesif, tanah kohesif, dan lapisan batuan.

$$\overline{N}_{ch} = \frac{d_s}{\sum_{i=1}^m \frac{d_i}{N_i}}$$
(3-14)

Dimana N_i dan d_i dalam persamaan berlaku untuk tanah non-kohesif saja,

$$\sum_{i=1}^{m} d_i = d_s, \qquad (3-15)$$

$$\sum_{j=1}^{m} d_{i} = d_{s} \tag{3-16}$$

Keterangan:

- d_s = ketebalan total dari lapisan tanah non-kohesif di 30 m lapisan paling atas
- $N_i=$ tahanan penetrasi standar 60 persen energi (N_{60}) yang terukur langsung di lapangan tanpa koreksi, dengan nilai tidak lebih dari 305 pukulan/m. (jika ditemukan perlawanan lapisan batuan, maka nilai N_i tidak boleh diambil lebih dari 305 pukulan/m.
- 3. Kuat geser niralir rata-rata, \bar{s}_u

$$\bar{s}_{u} = \frac{d_{c}}{\sum_{i=1}^{k} \frac{d_{i}}{s_{ui}}}$$
 (3-17)

dimana

$$\sum_{i=1}^{k} d_i = d_c {3-18}$$

Keterangan:

 $d_c=$ ketebalan total dari lapisan-lapisan tanah kohesif di dalam lapisan 30 m paling atas

PI = indeks plastisitas, berdasarkan tata cara yang berlaku

w = kadar air dalam persen, sesuai tata cara yang berlaku

= kuat geser niralir (kPa), dengan nilai tidak boleh lebih dari 250 kPa seperti yang ditentukan dan sesuai dengan tata cara yang berlaku.

Menghitung S_{MS} dan S_{M1} . c.

$$S_{MS} = F_a S_S \tag{3-19}$$

$$S_{M1} = F_{\nu} S_1 \tag{3-20}$$

Menghitung S_{DS} dan S_{D1} .

$$S_{DS} = \frac{2}{3} S_{MS}$$

$$S_{D1} = \frac{2}{3} S_{M1}$$
(3-21)

$$S_{D1} = \frac{2}{3} S_{M1} \tag{3-22}$$

Jika digunakan prosedur desain yang disederhanakan, maka nilai S_{DS} harus ditentukan dengan persamaan $S_{DS} = \frac{2}{3} F_a S_s$ dimana F_a boleh diambil sebesar 1,0 untuk situs batu, 1,4, untuk situs tanah, atau ditentukan sesuai dengan tabel kefisien situs, F_a . Dalam hal ini, situs boleh dianggap sebagai batu jika terdapat tidak lebih dari 3 m tanah antara permukaan batu dan dasar fondasi telapak atau fondasi tikar. S_s harus ditetapkan dari respon spektral percepatan 0,2 detik dan 1 detik dalam peta gerak tanah seismik dengan kemungkinan 2 persen terlampaui dalam 50 tahun (MCE_R 2 persen dalam 50 tahun), dan dinyatakan dalam bilangan desimal terhadap percepatan gravitasi, tetapi tidak perlu diambil lebih besar dari 1,5.

Tabel 3.3 koefisien situs, f_a

Kelas situs	Parameter respons spectral percepatan gempa (MCE_R) terpetakan pada perioda pendek, $T = 0.2$ detik, S_s					
	$S_s \le 0.25$	$S_s \le 0.25$ $S_s = 0.5$ $S_s = 0.75$ $S_s = 1.0$ $S_s \ge 1.25$				
SA	0,8	0,8	0,8	0,8	0,8	
SB	1,0	1,0	1,0	1,0	1,0	
SC	1,2	1,2	1,1	1,0	1,0	
SD	1,6	1,4	1,2	1,1	1,0	
SE	2,5	1,7	1,2	0,9	0,9	
SF	SS^b					

(Tabel 4 SNI 1726: 2012)

Catatan:

- a. Untuk nilai-nalai antara S_s dapat dilakukan interpolasi linier
- b. SS = situs yang memerlukan investigasi geoteknik spesifik dan analisis respons situs-spesifik.

Tabel 3.3 koefisien situs, f_{ν}

Kelas situs	Paramet	ter respons sp		_ _	(MCE_R)	
		terpetakan pada perioda 1 detik, S_1				
	$S_1 \le 0,1$	$S_1 \le 0.1$ $S_1 = 0.2$ $S_1 = 0.3$ $S_1 = 0.4$ $S_1 \ge 0.5$				
SA	0,8	0,8	0,8	0,8	0,8	
SB	1,0	1,0	1,0	1,0	1,0	
SC	1,7	1,6	1,5	1,4	1,3	
SD	2,4	2	1,8	1,6	1,5	
SE	3,5	3,2	2,8	2,4	2,4	
SF	ss^b					

(Tabel 5 SNI 1726: 2012)

Catatan:

- a. Untuk nilai-nalai antara S_1 dapat dilakukan interpolasi linier
- b. SS = situs yang memerlukan investigasi geoteknik spesifik dan analisis respons situs-spesifik.

e. Menentukan Kategori Resiko (Risk Category).

Kategori resiko struktur bangunan gedung dan non gedung ditentukan berdasarkan tabel 3.5.

Tabel 3.5 Kategori risiko bangunan gedung dan non-gedung untuk beban gempa

Jenis pemanfaatan	Kategori risiko
Gedung dan non-gedung yang memiliki risiko rendah	
terhadap jiwa manusia pada saat terjadi kegagalan,	
termasuk, tetapi tidak dibatasi untuk, antara lain:	
- Fasilitas pertanian, perkebunan, peternakan, dan	Τ.
perikanan	
 Fasilitas sementara 	.0
 Gudang penyimpanan 	1
Rumah jaga dan struktur kecil lainnya	
Semua gedung dan struktur lain, kecuali yang termasuk	
dalam kategori risiko I, III, IV, termasuk, tapi tidak	
dibatasi untuk:	
– Perumahan	
 Rumah toko dan rumah kantor 	
– Pasar	II
 Gedung perkantoran 	11
 Gedung apartemen/ rumah susun 	
 Pusat perbelanjaan/ mall 	
 Bangunan industry 	
Fasilitas manufaktur	
– Pabrik	
Gedung dan non-gedung yang memiliki risiko tinggi	
terhadap jiwa manusia pada saat terjadi kegagalan,	
termasuk, tapi tidak dibatasi untuk:	
- Bioskop	
 Gedung pertemuan 	
- Stadion	
 Fasilitas kesehatan yang tidak memiliki unit bedah 	III
dan unit gawat darurat	111
 Fasilitas penitipan anak 	
– Penjara	
 Bangunan untuk orang jompo 	
Gedung dan non-gedung, tidak termasuk ke dalam	
kategori risiki IV, yang memiliki potensi untuk	
menyebabkan dampak ekonomi yang besar dan/ atau	

(Lanjutan) Tabel 3.5 Kategori risiko bangunan gedung dan non-gedung untuk beban gempa

	dan non-gedung untuk beban gempa	
	gangguan massal terhadap kehidupan masyarakat sehari- hari bila terjadi kegagalan, termasuk, tapi tidak dibatasi untuk:	
	 Pusat pembangkit listrik biasa 	
	 Fasilitas penanganan air 	
	- Fasilitas penanganan limbah	
	 Pusat telekomunikasi Gedung dan non-gedung yang tidak termasuk dalam 	
d	kategori risiko IV, (termasuk, tetapi tidak dibatasi untuk	III
	fasilitas manufaktur, proses, penanganan, penyimpanan,	
ļ	penggunaan atau tempat pembuangan bahan bakar	A .
d	berbahaya, bahan kimia berbahaya, limbah berbahaya,	1x
	atau bahan yang sudah meledak) yang mengandung	\sim
3	bahan beracun atau peledak dimana jumlah kandungan	٠,٠
	bahannya melebihi nilai batas yang disyaratkan oleh instansi yang berwenang dan cukup menimbulkan bahaya	a c
	bagi masyarakat jika terjadi kebocoran.	
	Gedung dan non-gedung yang ditunjukkan sebagai	
	fasilitas yang penting, termasuk, tetapi tidak dibatasi	
	untuk:	
۹	Bangunan-bangunan monumental	
	Gedung sekolah dan fasilitas pendidikan	
	 Rumah sakit dan fasilitas kesehatan lainnya yang memiliki fasilitas bedah dan unit darurat 	
	 Fasilitas pemadam kebakaran, ambulans, dan kantor 	
	polisi, serta garasi kendaraan darurat	
i	Tempat perlindungan terhadap gempa bumi, angina	IV
3	badai, dan tempat perlindungan lainnya	
۹	 Fasilitas kesiapan darurat, komunikasi, pusat operasi 	
	dan fasilitas lainnya untuk tanggap darurat	
	Pusat pembangkit energy dan fasilitas public lainnya yang dibutuhkan pada saat kaadaan darurat	
	yang dibutuhkan pada saat keadaan darurat – Struktur tambahan (termasuk menara	
	telekomunikasi, tangki penyimpanan bahan bakar,	
	menara pendingin, struktur stasiun listrik, tangki air	
	pemadam kebakaran atau struktur rumah atau	

(Lanjutan) Tabel 3.5 Kategori risiko bangunan gedung dan non-gedung untuk beban gempa

 struktur pendukung air atau material atau peralatan pemadam kebakaran) yang disyaratkan untuk beroperasi pada saat keadaan darurat

Gedung dan non-gedung yang dibutuhkan untuk mempertahankan fungsi struktur bangunan lain yang masuk ke dalam kategori risiko IV.

(Tabel 1-SNI 1726: 2012)

Berdasarkan SNI 1726: 2012 pasal 4.1.2, untuk berbagai kategori faktor resiko struktur bangunan gedung dan non gedung sesuai tabel pengaruh gempa rencan terhadapnya harus dikalikan dengan suatu faktor keutamaan I_e . Khusus untuk struktur bangunan dengan kategori resiko IV, bila dibutuhkan pintu masuk untuk operasionaldari struktur bangunan yang bersebelahan, maka struktur bangunan yang bersebelahan tersebut harus didesain sesuai dengan kategori resiko IV.

f. Menentukan Kategori Desain Seismik (SDC = Seismic Design Category).

Kategori Desain Seismik ditentukan berdasarkan SNI 1726: 2012, pasal 6.5. Struktur dengan kategori resiko I, II, atau III yang berlokasi di mana parameter respons spektral percepatan terpetakan pada periode 1 detik, S_1 , lebih besar dari atau sama dengan 0,75, harus ditetapkan sebagai struktur dengan kategori desain seismik E. Struktur yang berkategori resiko IV yang berlokasi di mana parameter respons spektral percepatan terpetakan pada periode 1 detik, S_1 , lebih besar dari atau sama dengan 0,75, harus ditetapkan sebagai struktur dengan kategori

desain seismik F. Masing-masing bangunan dan struktur harus ditetapkan ke dalam kategori desain seismik yang lebih parah, dengan mengacu pada tabel 3.6 dan 3.7, terlepas dari nilai periode fundamental getaran struktur, *T*.

Tabel 3.6 Kategori desain seismik sesuai dengan parameter respons percepatan pada periode pendek

Nilai S _{DS}	Kategor	ri Risiko
	I atau II atau III	IV
$S_{DS} < 0.167$	A	Α
$0.167 < S_{DS} < 0.33$	В	C
$0.33 \le S_{DS} \le 0.50$	C	D 9
$0.50 \le S_{DS}$	D	D C

(Tabel 6-SNI 1726: 2012)

Tabel 3.7 Kategori desain seismik berdasarkan parameter respons percepatan pada periode 1 detik

Niloi C	Kategoi	ri Risiko
Nilai S_{D1}	I atau II atau III	IV
$S_{D1} < 0.167$	A	A
$0.167 < S_{D1} < 0.33$	В	C
$0,33 \le S_{D1} \le 0,50$	C	D
$0.50 \le S_{D1}$	D	D

(Tabel 7-SNI 1726: 2012)

Apabila S_1 lebih kecil dari 0,75, kategori desain seismik (KDS) diizinkan untuk ditentukan sesuai tabel 3.6 saja, dimana berlaku semua ketentuan di bawah:

1. Pada masing-masing 2 arah orthogonal, perkiraan periode fundamental struktur, T_a , adalah kurang dari $0.8\,T_s$.

$$T_a = C_t h_n^x \tag{3-23}$$

$$T_s = \frac{S_{D1}}{S_{DS}} \tag{3-24}$$

- 2. Pada masing-masing 2 arah orthogonal, periode fundamental struktur yang digunakan untuk menghitung simpangan antar lantai adalah kurang dari T_s .
- 3. Koefisien respons seismik, C_s , dihitung menggunakan persamaan:

$$C_s = \frac{S_{DS}}{\left(\frac{R}{I_e}\right)} \tag{3-25}$$

4. Diafragma struktural adalah kaku, dimana diafragma pelat beton atau dek metal yang diberi penutup (topping) beton dengan perbandingan S/D_e sebesar 3 atau kurang pada struktur tanpa ketidakberaturan horizontal, atau untuk diafragma yang fleksibel, jarak antar elemen-elemen penahan gaya gempa tidak melebihi 12 m.

Apabila digunakan alternatif prosedur prosedur penyederhanaan desain, kategori desain seismik diperkenankan untuk ditentukan dalam tabel 6, dengan menggunakan nilai S_{DS} dari persamaan di langkah 4

g. Menentukan sistem struktur dan parameter struktur berdasarkan KDS.

Sistem penahan gaya gempa lateral dan vertikal dasar harus memenuhi salah satu tipe yang ditunjukkan dalam Tabel 9 SNI 1726: 2012 atau kombinasi sistem seperti yang dijelaskan dalam pasal 7.2.2,

7.2.3, dan 7.2.4. Koefisien modifikasi respons yang sesuai, R, faktor kuat lebih sistem, Ω_0 , dan koefisien amplifikasi defleksi, C_d , harus digunakan dalam penentuan geser dasar, gaya desain elemen, dan simpangan antar lantai tingkat desain. Nilai parameter-parameter di atas ditentukan berdasarkan tabel 9 SNI 1726: 2012.

h. Menentukan Faktor Keutamaan (Importance Factor): I_e .

Faktor keutamaan, I_e , ditentukan berdasarkan tabel 3.8.

Tabel 3.8 Faktor keutamaan gempa

Kategori risiko	Faktor keutamaan gempa, I_e
I atau II	1,00
III	1,25
IV	1,50

(Tabel 2-SNI 1726: 2012)

i. Menentukan Periode Fundamental.

Nilai periode fundamental ditentukan berdasarkan perhitungan dan perbandingan beberapa parameter. Nilai T didapat dengan 2 pendekatan, yaitu melalui perhitungan menggunakan komputer, T_c , dan melalui perhitungan dengan formula pendekatan,

$$T_a = C_t h_n^x \tag{3-26}$$

Nilai C_t dan x ditentukan berdasarkan tabel 3.9.

Tabel 3.9 Nilai parameter periode pendekatan

Tipe struktur	C_{t}	X
Sistem rangka pemikul momen dimana rangka memikul 100		
persen momen gaya gempa yang disyaratkan dan tidak dilingkupi atau dihubungkan dengan komponen yang lebih		
kaku dan akan mencegah rangka dari defleksi jika dikenai		
gaya gempa:	0.00=10	
Rangka baja pemikul momen	$0,0274^a$	0,8
Rangka beton pemikul momen	0,0466	0,9
Rangka baja dengan bresing eksentris	0,0731	0,75
Rangka baja dengan bresing terkekang terhadap tekuk	0,0731	0,75
Semua sistem struktur lainnya	0,0488	0,75

(Tabel 15-SNI 1726: 2012)

$$T_a < T_c < C_u T_a$$

Nilai C_u ditentukan berdasarkan tabel 3.10

Tabel 3.10 Koefisien untuk batas atas periode yang dihitung

Parameter percepatan respons	Koefisien
spektral desain pada 1 detik, S_{D1}	C_u
≥0,4	1,4
0,3	1,4
0,2	1,5
0,15	1,6
≤0,1	1,7

(Tabel 14-SNI 1726: 2012)

Nilai T yang terpakai adalah yang terkecil.

j. Menentukan Faktor Respons Gempa (Seismic Response Factor).

Nilai C_s diperoleh dari pengembangan kurva respons spektrum

$$C_s = S_{DS} / (R/I_e)$$
(3-27)

$$C_s = S_{D1}/[T(R/I_e)] \tag{3-28}$$

$$T_s = S_{D1}/S_{D1} \tag{3-29}$$
 Nilai T diambil dari hasil perhitungan langkah 9.
$$C_s \min = 0.044S_{DS}I_e \geq 0.01 \tag{3-30}$$

$$C_s \min = 0.0100 \tag{3-31}$$

$$C_s \min = 0.5S_1/(R/I_e) \text{ (hanya untuk } S_1 \geq 0.6g \text{)} \tag{3-32}$$

$$S_1(g) = 0.444$$
 Nilai C_s yang dipakai adalah yang terbesar.
$$\text{Menghitung gaya geser gempa } (\textit{Base Shear}).$$

$$\text{Gaya geser gempa dasar yang dipakai didapat dengan}$$

 $V = C_s W \tag{3-33}$

3.3 <u>Perencanaan Struktur</u>

3.1.1. Perencanaan pelat

a. Perencanaan pelat satu arah.

Langkah perancangan pelat satu arah sebagai berikut:

Perencanaan pelat satu arah berdasarkan ketentuan pasal 9.5.2, SNI 2847:
 2013. Tebal minimum pelat satu arah ditentukan pada tabel 3.11.

Tabel 3.11 Tebal minimum pelat satu-arah

	Tebal minimum, h					
	Tertumpu	Satu ujung	Kedua ujung	kantilever		
Vomnonon	sederhana	menerus	menerus	'ನ		
Komponen Struktur	Komponenen struktur tidak menumpu atau tidak dihubungkan dengan partisi atau konstruksi lainnya yang mungkin rusak oleh lendutan yang besar					
Pelat masif satu-arah	1/20	1/24	1/28	<i>l</i> /10		
Keterangan:	antono dolono					

- a. Panjang bentang dalam mm
- b. untuk f_y selain 420 MPa, nilainya harus dikalikan dengan ($0.4 + f_y / 700$)

(Tabel 9.5(a)-SNI 2847: 2013)

2. Asumsi tinggi efektif pelat dengan persamaan:

$$d = h - d_s \ (d_s = 25 - 30mm)$$

 Kuat geser beton pada perencanaan pelat dihitung dengan asumsi pelat dikenai geser dan lentur saja.

$$V_c = 0.17\lambda \sqrt{f_c} b_w d \tag{3-34}$$

Dengan λ adalah faktor modifikasi yang merefleksi property mekanis tereduksi dari beton ringan, semua relatif terhadap beton normal

dengan kuat tekan yang sama. Berdasarkan pasal 8.6.1, SNI 2847: 2013, nilai λ untuk beton normal sama dengan 1,0.

4. Nilai kuat geser beton yang dihitung harus memenuhi persamaan:

$$\phi V_c \ge V_u \tag{3-35}$$

$$\operatorname{dengan} \ (\phi = 0.75)$$

5. Rasio penulangan

Rasio penulangan ditentukan dengan persamaan:

$$\rho = \frac{0.85 f_c'}{f_y} \left(1 - \sqrt{1 - \frac{2R_n}{0.85 f_c'}} \right)$$
(3-36)

Rasio penulangan maksimum dihitung dengan persamaan:

$$\rho_{maks} = 0.75 \rho_b \tag{3-37}$$

$$\rho_b = \frac{0.85 f_c' \beta_1}{f_y} \frac{600}{600 + f_y} \dots (3-38)$$

Dengan:

$$R_n = \frac{M_n}{bd^2} = \frac{M_u}{\phi bd^2} \dots (3-39)$$

 R_n = koefien tahanan

$$b = 1000 \text{ mm}$$

 ϕ = (diasumsikan) 0,9

Jika $\rho > \rho_{maks}$, maka tebal pelat diperbesar.

6. Luas tulangan tarik dihitung dengan:

$$A_s = \rho bd \tag{3-40}$$

Nilai A_s tidak boleh kurang dari $A_{s,\min}$ yang ditetapkan pada SNI 2847: 2013, pasal 10.5.4 dan pasal 7.12.2.1

b. Perencanaan pelat 2 arah.

Perencanaan pelat dua arah umumnya mengikuti langkah-langah berikut:

1. Tebal minimum pelat

Berdasarkan ketentuan SNI 2847: 2013, pasal 9.5.3.3, untuk pelat dengan balok yang membentang di antara tumpuan pada semua sisinya, tebal minimumnya, h, harus memenuhi ketentuan sebagai berikut:

a). Untuk $a_{\mathit{fin}} \leq 0.2$, mengikuti tabel 3.12

Tabel 3.12 Tebal minimum pelat dua-arah

	Tanpa penebalan		Dengan penebalan			
Tegangan leleh f_y	Panel eksterior		Panel interior	Panel eksterior		Panel interior
(MPa)	Tanpa balok	Dengan balok		Tanpa balok	Dengan balok	
	pinggir	pinggir		pinggir	pinggir	
280	$\ell_n/33$	$\ell_n/36$	$\ell_n/36$	$\ell_n/36$	$\ell_n/40$	$\ell_n/40$
420	$\ell_n/30$	$\ell_n/33$	$\ell_n/33$	$\ell_n/33$	$\ell_n/36$	$\ell_n/36$
520	$\ell_n/28$	$\ell_n/31$	$\ell_n/31$	$\ell_n/31$	$\ell_n/34$	$\ell_n/34$

(9.5 (c)-SNI 2847: 2013)

Untuk $f_{\rm y}$ antara nilai yang diberikan dalam tabel, tebal minimum harus ditentukan dengan interpolasi linier.

b). Untuk $0.2 < a_{fm} \le 2.0$, h tidak boleh kurang dari:

$$h = \frac{\ell_n \left(0.8 + \frac{f_y}{1400}\right)}{36 + 5\beta \left(a_{fm} - 0.2\right)}$$
(3-41)

Dan tidak boleh kurang dari 125 mm.

c). Untuk $a_{fm} > 0.2$, h tidak boleh kurang dari:

$$h = \frac{\ell_n \left(0.8 + \frac{f_y}{1400}\right)}{36 + 9\beta}$$
 (3-42)

Dan tidak boleh kurang dari 90 mm.

d). Pada tepi yang tidak menerus, balok tepi harus mempunyai rasio kekakuan a_f tidak kurang dari 0,8, atau sebagai alternatif ketebalan minimum pada (b) dan (c) harus dinaikkan paling tidak 10 persen pada panel dengan tepi yang tidak menerus.

$$a_f = \frac{E_c I_c balok}{E_c I_c pelat}$$
 (3-43)

$$a_{fm} = \frac{\sum a_f}{n} \tag{3-44}$$

Keterangan:

 a_f = rasio kekuatan pelat

 $a_{\it fm} = N$ ilai rata-rata a untuk semua balok pada tepi panel

n = jumlah balok pada tepi panel

 E_c = Modulus elastisitas beton

- I_c = Momen inersia efektif
- β = rasio bentang bersih dalam arah panjang terhadap pendek pelat
- ℓ_n = panjang bertang bersih dalam arah panjang diukur muka ke muka balok.
- 2. Momen lentur akibat beban terfaktor (M_u), dihitung dengan bantuan tabel koefisien momen PBI 1971

$$M_u = 0.001 w_u l_x x$$
 (3-45)

Keterangan:

 w_u = beban per-satuan luas

 l_x = bentang terpendek pelat

x =koefisien momen.

3. Gaya geser akibat beban terfaktor dihitung dengan persamaan:

$$V_u = \frac{1{,}15w_u l_n}{2} \dots (3-46)$$

Gaya geser sepenuhnya dipikul oleh beton dengan syarat

$$\phi V_c \ge V_u \tag{3-47}$$

Jika syarat kuat geser tidak terpenuhi maka tebal pelat harus diperbesar.

4. Tulangan longitudinal pelat dihitung seperti pada pelat satu arah, hanya dihitung dua kali pada bentang panjang dan bentang pendek dengan tulangan arah bentang pendek diletakkan pada sisi terluar.

- 5. Syarat spasi tulangan diatur pada SNI 2847: 2013, pasal:
 - a). 7.6.5: tulangan lentur utama harus berspasi $s \le 3h$, ataupun $s \le 450mm$
 - b). 7.12.2.2: tulangan susut dan suhu harus dipasang dengan spasi $s \le 5h$ atau $s \le 450mm$

umine

3.1.2. Perencanaan balok

Tahapan dalam perencanaan balok adalah:

a. Analisis pendahuluan, penentuan dimensi.

Analisis pendahuluan hanya perlu menyediakan momen maksimum dan gaya lintang sehubungan dengan penetapan dimensidimensi yang masuk akal, antara lain:

1. Selimut beton

Untuk dimensi selimut beton dalam perencanaan ini penulis menggunakan tebal selimut yang digunakan pada proyek struktur pada umumnya, yaitu ± 40 mm sebagaimana dikategorikan oleh Moesly untuk lingkungan berkategori keras, yang beresiko tersiram hujan lebat, mengalami pergantian panas dan dingin; kadang-kadang pembekuan atau kondensasi yang hebat.

2. Lebar (b)

Lebar balok umumnya digunakan di lapangan ditentukan dengan:

$$b = \frac{1}{2}h - \frac{2}{3}h \tag{3-48}$$

3. Tinggi efektif (d)

Perkiraan tinggi efektif balok *d* dihitung dengan:

$$d = h - d_s (d_s \approx 60 - 80mm)$$
....(3-49)

4. Tinggi keseluruhan (h)

Tinggi keseluruhan balok yang umumnya dipakai di lapangan

$$h = \frac{1}{10}L - \frac{1}{15}L\tag{3-50}$$

Berdasarkan Tabel 9.5 pada SNI 2847: 2013, tebal minimum balok bila lendutan tidak dihitung,

$$h_{\min} = \frac{L}{16} \left(0.4 + \frac{f_{y}}{700} \right)$$
 (3-51)

b. Analisis dan perencanaan detail tulangan.

Pada balok, dihitung 2 macam tulangan, yaitu tulangan longitudinal balok dan tulangan geser balok.

1. Perhitungan tulangan longitudinal balok

Nilai momen lentur akibat beban terfaktor (M_u) diperoleh dari hasil analisis struktur dengan bantuan program ETABS.

ho dipilih dari nilai terbesar antar $ho_{\it perlu}$ dan $ho_{\it min}$

$$\rho_{perlu} = \frac{0.85.f_c}{f_y} \left(1 - \sqrt{1 - \frac{2.R_n}{0.85.f_c}} \right)$$
(3-52)

$$\rho_{\min} = \frac{\sqrt{f_c'}}{4f_y'} \operatorname{atau} \frac{1,4}{f_y}$$
(3-53)

Luas tulangan yang dibutuhkan pada komponen struktur lentur adalah

$$A_{s \, perlu} = \rho.b.d \tag{3-54}$$

Berdasarkan SNI 2847: 2012, pasal 10.5.1, A_s yang tersedia tidak boleh kurang dari nilai yang diberikan oleh

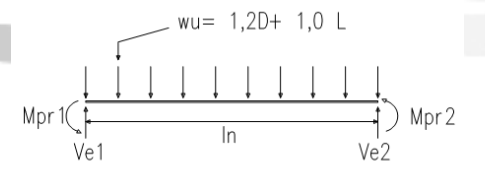
$$A_{s,\min} = \frac{0.25\sqrt{f_c'}}{f_y} b_w d$$
 (3-55)

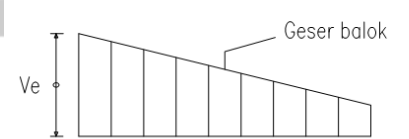
dan tidak lebih kecil dari 1,4 $b_{\scriptscriptstyle W}\,d/f_{\scriptscriptstyle y}$.

Jumlah tulangan yang dibutuhkan diperoleh dari A_s / luas satu buah tulangan dengan pembulatan ke atas.

2. Perhitungan tulangan geser balok

Berdasarkan ilustrasi gambar 21.5.4 geser desain untuk balok pada SNI 2847:2013, perencanaan tulangan geser balok sebagai berikut.





Gambar 3.1-geser desain untuk balok

(Gambar S21.5.4-SNI 2847: 2013)

Nilai V_e diperoleh dengan persamaan:

$$V_e = \frac{M_{pr}^1 + M_{pr}^2}{\ell_{u}} + \frac{w_u \ell_n}{2}$$
 (3-56)

Dengan:

 V_e = gaya geser rencana

 w_u = beban terfaktor per-satuan panjang balok

 M_{pr} = Momen-momen ujung balok

Berdasarkan pasal 21.6.5.1, SNI 2847: 2013, gaya geser desain, V_e , harus ditentukan dari peninjauan terhadap gaya-gaya maksimum yang dapat dihasikan di muka-muka pertemuan-pertemuan (joints) di setiap komponen struktur. Gaya-gaya joint ini harus ditentukan menggunakan kekuatan momen maksimum yang mungkin, M_{pr} , di setiap ujung komponen struktur yang berhubungan dengan rentang dari beban aksial terfaktor, P_u , yang bekerja pada komponen struktur. Geser komponen struktur tidak perlu melebihi yang ditentukan dari kekuatan joint berdasarkan pada M_{pr} komponen struktur transversal yang merangka ke dalam joint. Dalam semua kasus, V_e tidak boleh kurang dari geser terfaktor yang ditentukan oleh analisis struktur.

Catatan tambahan yang perlu diperhatikan:

- a). Arah gaya geser V_e tergantung pada besaran relatif beban gravitasi dan geser yang dihasilkan oleh momen-momen ujung.
- b). Nilai V_e harus dicari dari nilai terbesar akibat beban gempa arah ke kanan dan ke kiri.

c). Momen-momen ujung M_{pr} berdasarkan pada tegangan tarik baja sebesar 1,25 f_y . Kedua momen harus ditinjau dalam kedua arah, searah jarum jam dan berlawanan jarum jam.

Batas spasi tulangan geser berdasarkan SNI 2847: 2013, pasal 11.4.5, sebagai berikut:

- a). spasi tulangan geser yang dipasang tegak lurus terhadap sumbu komponen struktur tidak boleh melebihi d/2 pada komponen struktur non-prategang dan 0.75h padakomponen struktur prategang, ataupun 600 mm.
- b). sengkang miring dan tulangan longitudinal yang dibengkokkan harus dipasang dengan spasi sedemikian hingga setiap garis 45 derajat, menerus ke arah reaksi dari tengah tinggi komponen struktur d/2 ke tulangan tarik longitudinal, harus disilang oleh paling tidak satu garis tulangan geser.
- c). Bila V_s melebihi $0.33\sqrt{f_c}b_wd$, maka spasi minimum pada kedua ketentuan sebelumnya di atas harus dikurangi dengan setengahnya.

Nilai V_s dihitung dengan persamaan:

$$V_s = \frac{A_v f_{yt} d}{s} \qquad (3-57)$$

Persamaan ini hanya berlaku untuk tulangan geser tegak lurus terhadap sumbu komponen struktur.

 V_s tidak boleh diambil melebihi $0.66\sqrt{f_c}b_w d$

Catatan lain tentang sengkang (tertutup) dijelaskan pada pasal 21.5.3.2, spasi sengkang tertutup tidak boleh melebihi yang terkecil dari ke-3 poin berikut:

- a). d/4
- b). Enam kali diameter terkecil batang tulangan lentur utama tidak termasuk tulangan kulit longitudinal
- c). 150 mm

3.1.3. Perencanaan kolom

Tahapan dalam perencanaan kolom, sebagai berikut:

- a. Pendimensian kolom.
 - 1. Dalam mendimensi kolom, pertama-tama harus memperhitungkan beban aksial maksimal yang bekerja pada kolom. Berdasarkan pasal 10.3.6, SNI 2847: 2013, desain beban aksial ϕP_n dari komponen struktur tekan tidak boleh lebih besar dari $\phi P_{n,\max}$.

$$\phi P_{n,\text{max}} = 0.80 \phi [0.85 f_c^{'} (A_g - A_{st}) + f_y A_{st}]$$
 (3-58)

- 2. Persyaratan selanjutnya diatur dalam pasal 10.9.1, SNI 2847: 2013:
 - a). Luas tulangan longitudinal, A_{st} , tidak boleh kurang dari $0.01A_g$ atau lebih dari $0.08A_g$
 - b). jumlah batang tulangan longitudinal minimum harus 4 batang untuk batang tulangan di dalam tulangan pengikat segi empat.

- 3. Batasan spasi untuk tulangan sebagai berikut:
 - a). Spasi bersih minimum antara batang tulangan yang sejajar dalam suatu lapis harus sebesar d_b , tetapi tidak kurang dari 25 mm.
 - b). Bila tulangan sejajar tersebut diletakkan dalam dua lapis atau lebih, tulangan pada lapis atas harus diletakkan tepat di atas tulangan di bawahnya dengan spasi bersih antara lapis minimal 25 mm.
 - c). Jarak bersih antar tulangan longitudinal minimal $1,5d_b$ atau kurang dari $40~\mathrm{mm}$ (sesuai pasal $7.6.3~\mathrm{SNI}$ 2847: 2013)
- 4. Selimut beton ditentukan berdasarkan pasal 7.7, SNI 2847: 2013, untuk tulangan utama, pengikat, sengkang, spiral kolom minimal 40 mm.
- b. Pengaruh kelangsingan pada kolom.

Berdasarkan SNI 2847: 2013, pasal 10.10.1, pengaruh kelangsingan boleh diabaikan dalam kasus-kasus berikut:

 Untuk komponen struktur tekan yang tidak di-breising (braced) terhadap goyangan menyamping:

$$\frac{k\ell_u}{r} \le 22 \tag{3-59}$$

2. Untuk komponen struktur tekan yang di-breising (*braced*) terhadap goyangan menyamping:

$$\frac{k\ell_u}{r} \le 34 - 12(M_1/M_2) \le 40 \quad ... \tag{3-60}$$

Keterangan:

k = Faktor panjang efektif struktur tekan

 ℓ_u = Panjang tak tentu komponen struktur tekan

r = Radius girasi struktur tekan

 M_1 = Momen ujung terfaktor yang lebih kecil pada komponen struktur tekan

 M_2 = Momen ujung terfaktor yang lebih besar pada komponen struktur tekan

Dimana M_1/M_2 adalah positif jika kolom dibengkokkan dalam kurvatur tunggal, dan negatif jika komponen struktur dibengkokkan dalam kurvatur ganda.

c. Kekuatan lentur minimum kolom.

Kekuatan lentur kolom disyaratkan dalam SNI 2847: 2013, pasal 21.6.2.2, dimana harus memenuhi persamaan:

$$\sum M_{nc} \ge (1,2) \sum M_{nb}$$
(3-61)

Keterangan:

 $\sum M_{nc}$ = jumlah kekuatan lentur nominal kolom yang merangka ke dalam *joint*.

 $\sum M_{nb}$ = jumlah kekuatan lentur nominal balok yang merangka ke dalam *joint*.

d. Desain geser kolom (21.6.4).

Perhitungan tulangan geser didasarkan pada pasal 11.1, SNI 2847: 2012. Desain penampang yang dikenai geser harus berdasarkan:

$$\phi V_n \ge V_u \tag{3-62}$$

$$V_n = V_c + V_s \tag{3-63}$$

Untuk komponen struktur non-prategang, nilai kuat geser nominal yang disediakan oleh beton, V_c , dihitung dengan persamaan:

$$V_c = 0.17 \left(1 + \frac{N_u}{14A_g} \right) \lambda \sqrt{f_c} b_w d$$
(3-64)

Dengan besar N_u/A_g harus dinyatakan dalam Mpa.

Untuk komponen struktur yang dikenai tarik aksial yang cukup besar, V_c harus diambil sama dengan nol.

Nilai V_s dihitung dengan persamaan:

$$V_s = \frac{A_{\nu} f_{\nu t} d}{s} \qquad (3-65)$$

Persamaan ini hanya berlaku untuk tulangan geser tegak lurus terhadap sumbu komponen struktur.

 V_s tidak boleh diambil melebihi $0.66\sqrt{f_c}b_wd$

Spasi bersih minimum antara batang tulangan yang sejajar dalam suatu lapis harus sebesar d_b , tetapi tidak kurang dari 25 mm. Bila tulangan sejajar tersebut diletakkan dalam dua lapis atau lebih, tulangan pada lapis atas harus diletakkan tepat di atas tulangan di bawahnya dengan spasi bersih antara lapis minimal 25 mm.

Untuk komponen struktur yang dikenai tekan aksial Jarak bersih antar tulangan longitudinal minimal $1,5d_b$ atau kurang dari 40 mm (sesuai pasal 7.6.3 SNI 2847: 2013)

Berdasarkan SNI 2847: 2013, pasal 7.10.5.2, spasi vertikal sengkang tidak boleh melebihi 16 kali diameter tulangan longitudinal, 48 kali diameter sengkang, dan dimensi lateral terkecil kolom.

3.1.4. Hubungan balok-kolom (HBK)

Perencanaan Hubungan Balok-Kolom (HBK) berdasarkan SNI 2847: 2013, pasal 21.7.

a. Persyaratan umum.

- 1. Gaya-gaya pada tulangan balok longitudinal di muka join harus ditentukan dengan mengasumsikan bahwa tegangan pada tulangan tarik lentur adalah 1,25 $f_{\rm v}$.
- Tulangan longitudinal balok yang dihentikan dalam suatu kolom harus diteruskan ke muka jauh inti kolom terkekang dan diangkur dalam kondisi tarik dan dalam kondisi tekan.
- 3. Bila tulangan balok longitudinal menerus melalui join balok-kolom, dimensi kolom yang sejajar terhadap tulangan balok tidak boleh kurang dari 20 kali diameter batang tulangan balok terbesar untuk beton normal (normal weight).

b. Tulangan transversal.

Tulangan transversal *joint* rangka momen/ Hubungan Balok-Kolom (HBK) ditentukan dalam SNI 2847: 2013, pasal 21.7.3, sebagai berikut:

- 1. Tulangan transversal *joint* harus memenuhi salah satu dari ketentuan pasal 21.6.4.4(a) atau 21.6.4.4(b), dan juga harus memenuhi pasal 21.6.4.2, 21.6.4.3, dan 21.6.4.7, kecuali seperti yang diizinkan pada **b**.
- 2. Bilamana komponen-komponen struktur yang merangka ke dalam semua empat sisi *joint* dan bilamana setiap lebar komponen struktur ≥ 3/4 lebar kolom, jumlah tulangan yang ditetapkan yang ditetapkan dalam pasal 21.6.4.4(a) atau 21.6.4.4(b) diijinkan untuk direduksi dengan setengahnya, dan spasi yang disyaratkan dalam pasal 21.6.4.3 diijinkan untuk ditingkatkan sampai 150 mm dalam tinggi keseluruhan h komponen struktur rangka yang terpendek.
- 3. Tulangan balok longitudinal di luar inti kolom harus dikekang dengan tulangan transversal yang melewati kolom yang memenuhi persyaratan spasi pada pasal 21.5.3.2, dan persyaratan pada pasal 21.5.3.3 dan 21.5.3.6, jika pengekangan tersebut tidak disediakan oleh suatu balok yang merangka ke dalam *joint*.

c. Kekuatan Geser.

Untuk beton normal, V_n joint tidak boleh diambil sebagai yang lebih besar dari nilai yang ditetapkan berikut:

2. Untuk *joint* yang terkekang oleh balok-balok pada tiga muka atau dua muka yang berlawanan:

$$1,2\sqrt{f_c^{'}}A_j$$
(3-67)

3. Untuk kasus-kasus lainnya:

$$1,0\sqrt{f_c}A_j$$
(3-68)

Keterangan:

 A_j = luas penampang efektif dalam suatu *joint* yang dihitung dari tinggi *joint* x lebar efektif.

Tinggi *joint* harus merupakan tinggi keseluruhan kolom, h.

Lebar *joint* efektif harus merupakan lebar keseluruhan kolom, kecuali bilamana suatu balok merangka ke dalam suatu kolom yang lebar, lebar efektif tidak memadai yang lebih kecil dari:

- a). Lebar balok ditambah tinggi joint
- b). Dua kali jarak tegak lurus yang lebih kecil dari sumbu longitudinal balok ke sisi kolom.
- d. Panjang penyaluran batang tulangan dalam kondisi tarik.
 - 1. Untuk ukuran batang tulangan Ø-10 sampai D-36, panjang penyaluran, ℓ_{dh} , untuk batang tulangan dengan kait 90 derajat standar pada beton normal tidak boleh kurang dari yang terbesar dari $8d_b$, 150 mm, dan panjang yang disyaratkan oleh persamaan:

$$\ell_{dh} = \frac{f_{y}d_{b}}{5.4\sqrt{f_{c}^{'}}}$$
 (3-69)

- 2. Untuk ukuran batang tulangan Ø-10 sampai D-36, ℓ_d , panjang penyaluran dalam kondisi tarik untuk batang tulangan lurus, tidak boleh kurang dari yang lebih besar dari (i) dan (ii):
 - a). 2,5 kali panjang yang disyaratkan pada **a** bila tinggi beton yang dicetak dalam satu kali angkat di bawah batang tulangan tidak melebihi 300 mm;
- b). 3,25 kali panjang yang disyaratkan pada **a** bila tinggi beton yang dicetak dalam satu kali angkat di bawah batang tulangan melebihi 300 mm.
- 3. Batang tulangan lurus yang berhenti pada suatu joint harus melewati inti terkekang dari suatu kolom atau dari suatu elemen pembatas. Sebaran bagian ℓ_d tidak dalam inti terkekang harus ditingkatkan dengan faktor sebesar 1,6 kali.
- 4. Bila tulangan berlapis epoksi atau berlapis ganda bahan seng dan epoksi digunakan, panjang penyaluran pada **a** hingga **c** harus dikali dengan faktor-faktor yang sesuai dalam pasal 12.2.4 atau 12.5.2.

3.1.5. Perencanaan fondasi bored pile

Langkah-langkah perencanaan fondasi bored pile sebagai berikut:

a. Daya dukung fondasi.

Rumus umum untuk menghitung daya dukung fondasi, sebagai berikut:

$$Q_u = Q_p + Q_s$$

Daya dukung ultimit untuk satu tiang dihitung dengan persamaan:

$$Q_a = \frac{Q_u}{SF} \tag{3-70}$$

Dengan:

$$Q_p = q_c.A_{bor}$$
 (3-71)

$$Q_s = 0.8. f_s. A_{selimut}$$
 (3-72)

$$A_{selimut} = \pi.D.D_f \tag{3-73}$$

Keterangan:

 Q_u = daya dukung ultimit tiang

 Q_p = daya dukung ultimit ujung tiang

 Q_a = Daya dukung ultimit untuk satu tiang

SF = Safety Factor

 Q_s = daya dukung ultimit selimut tiang

 q_c = tahanan ujung per-satuan luas

 A_{bor} = luas penampang tiang bor

 $f_s = N_{SPTmean}$

 $A_{selimut}$ = luas selimut tiang bor

D = diameter tiang bor

 D_f = panjang tiang bor

b. Kelompok tiang dengan poer.

1. Jumlah kebutuhan tiang dalam kelompok tiang ditentukan dengan persamaan:

$$n = \frac{V}{P_{tiang}} \tag{3-74}$$

Keterangan:

n = Jumlah tiang

V = Gaya aksial rencana fondasi

 P_{tiang} = Daya dukung ijin tekan tiang

Beberapa syarat dalam penetuan jumlah tiang dalam kelompok tiang, sebagai berikut:

a). Jarak antar tiang:

$$2,5D \le S \le 3,0D$$

b). Jarak tiang ke tepi poer:

$$1,25D \le S \le 1,5D$$

2. Efisiensi kelompok tiang

Efisiensi kelompok tiang dihitung dengan cara FELD, sebagai berikut:

$$E' = \sum \left(1 - \frac{j}{m}\right) \dots (3-75)$$

Sedangkan efisiensi tiang tunggal dihitung dengan:

$$E = \frac{1}{m} \sum \left(1 - \frac{j}{m} \right) \dots (3-76)$$

Keterangan:

E' = Efisiensi kelompok tiang

E = Efisiensi tiang tunggal

m = jumlah tiang di dalam kelompok tiang

j = jumlah tiang yang mengelilingi tiang dalam kelompok tiang.

3. Beban maksimum yang bekerja pada tiang dalam kelompok tiang

$$P_{\text{max}} = \frac{\sum V}{n} + \frac{M_y \cdot X}{\sum x^2} + \frac{M_x \cdot y}{\sum y^2}$$
 (3-77)

Keterangan:

 P_{max} = Beban maksimal yang diterima tiang

 $\sum V$ = jumlah total beban normal.

n = jumlah tiang dalam 1 poer

 M_x = Momen yang bekerja pada bidang tegak lurus sumbu X yang bekerja pada fondasi, diperhitungkan terhadap titik-titik pusat berat seluruh tiang yang terdapat di dasar *poer*.

 M_y = Momen yang bekerja pada bidang tegak lurus sumbu Y yang bekerja pada fondasi, diperhitungkan terhadap titik-titik pusat berat seluruh tiang yang terdapat di dasar *poer*.

x = Absis tiang pancang terhadap titik berat kelompok tiang

y = ordinat tiang pancang terhadap titik berat kelompok tiang

 $\sum x^2$ = Jumlah kuadrat absis-absis tiang

 $\sum y^2$ = Jumlah kuadrat ordinat-ordinat tiang.

c. Daya dukung horizontal tiang.

Daya dukung horizontal tiang untuk tiang panjang dihitung dengan:

$$H_u = \frac{2M_y}{\frac{3D}{2} + \frac{f}{2}} \dots (3-78)$$

$$M_{\text{max}} = H_u \left(\frac{L_p}{2} + \frac{3D}{2} \right) \dots (3-79)$$

Keterangan:

D = Diameter tiang

 L_p = Panjang tiang yang tertanam

 H_u = Gaya horizontal ultimit penampang tiang

 M_{max} = Momen kapasitas maksimal pada penampang tiang

d. Cek geser.

1. Geser dua arah

$$\phi V_n = \phi V_c \tag{3-80}$$

$$V_u \le \phi V_n \tag{3-81}$$

Nilai V_c dipilih yang terkecil dari hasil perhitungan menggunakan 3 persamaan berikut:

a).
$$V_c = \frac{1}{3} \sqrt{f_c} b_o d$$
(3-82)

b).
$$V_c = \left(1 + \frac{2}{\beta_o}\right) \frac{\sqrt{f_c}}{12} b_o d$$
(3-83)

c).
$$V_c = \left(\frac{\alpha_s.d}{b_0} + 2\right) \frac{\sqrt{f_c'}}{12} b_o d$$
 (3-84)

Keterangan:

 b_o = Penampang kritis pada *poer*

d = Tinggi efektif poer

 β_o = Luas penampang kolom

b = h = Dimensi ukuran *poer*

 α_s = Konstanta (besarnya 40 untuk kolom dalam, 30 untuk kolom tepi, dan 20 untuk kolom sudut)

 ϕ = Faktor reduksi

2. Geser satu arah

$$\phi V_n = \phi V_c \qquad (3-85)$$

$$V_u \le \phi V_n \tag{3-86}$$

Dengan

$$V_c = \frac{1}{6} \sqrt{f_c} b.d$$
(3-87)

$$V_u = Q_u.q.L \tag{3-88}$$

$$Q_u = \frac{P_u}{A} \tag{3-89}$$

$$q = \frac{1}{2} \operatorname{lebar} poer - \frac{1}{2} \operatorname{lebar} \operatorname{kolom} - d$$
(3-90)

Keterangan:

 V_u = Kuat geser total terfaktor

 V_c = Kuat geser

 P_u = Daya dukung tiang

 B_o = Penampang kritis

A = Luas poer

L = Luas poer

d = Tinggi efektif

 Q_u = Gaya geser total terfaktor yang bekerja pada penampang kritis

e. Perencanaan Tulangan bored pile.

Perencanaan bored pile harus memenuhi:

$$\phi P_n \ge P_u \tag{3-91}$$

$$P_n = 0.8[0.85.f_c(A_g - A_{st}) + f_y.A_{st}]$$
 (3-92)

Keterangan:

 A_g = Luas penampang bored pile

 A_{st} = Luas tulangan bored pile

 ϕ = faktor reduksi kekuatan

= 0,75, untuk kolom dengan penulangan spiral

= 0,65, untuk kolom dengan penulangan segi empat.